

Producing CePowders By (LICVD)Process and Using TEA-Co₂ Laser

S. N. Mazher , G. S. Karim

Department of Physics ,Collage of Science for Women ,University of Baghdad

Department of Physics , Collage of Education, AL-Mustansiriyah University

Abstract

In this research , Aprocess (LICVD) was used for producing silicon nitride powders with chemical compositon Si₃N₄ ,by using TEA-Co₂ Laser to induc reaction in the gas phase, NH₃ was used as on additive to SiH₄. Reactant gases that were vibrationaly heated by absorbing energy emitted from TEA-Co₂ Laser decomposes throug coillslion assisted multiple photon dissociation causing Si₃N₄ powders.

By the dependence of the LICVD process on varios parameters such as Laser intensity , total gas pressure, partial pressures of SiH₄ and NH₃ were investigated.

Dissociation rate as a function of Laser intensity and pressure was investigated.

The powders obtained exhibit various colors from brown which is rich in Si to white.This explains that LICVD SiN powders do not have a fixed stoichiometry but depend on the processing parameters, such as SiH₄/NH₃ ratio.

تكوين مساحيق سيراميكية Si_3N_4 بطريقة (LICVD) وباستخدام ليزر $\text{TEA}-\text{Co}_2$

صباح نوري مزهرا ، غادة صباح كرم
قسم الفيزياء ، كلية العلوم للبنات ، جامعة بغداد
قسم الفيزياء ، كلية التربية ، الجامعة المستنصرية

الخلاصة

تم في هذا البحث أستعمال طريقة (LICVD) لتكوين مساحيق سيراميكية وبتركيز كيميائي Si_3N_4 ، وذلك من خلال أستخدام $\text{TEA}-\text{Co}_2$ لحت التفاعل لغاز NH_3 عاملًا مضادًا لغاز SiH_4 وأن الغازات المتفاعلة والمسخنة بالاهتزاز عن طريق امتصاص الطاقة المنبعثة من الليزر تتكثف خلال التصادم وذلك بالانصباب المتعدد للفوتوتان والمكون لمساحيق Si_3N_4 .

وبالاعتماد على طريقة (LICVD) تم حساب متغيرات مختلفة مثل شدة أشعة الليزر (كتافة الطاقة) ، والضغط الكلي والضغوط الجزئية لغاز SiH_4 و NH_3 . وحسبت نسبة الانصباب دالة لتنبأ أشعة الليزر والضغط . وأظهرت المساحيق الناتجة الوان مختلفة تتراوح من اللون البني الذي يكون غني بالسليلكون الى اللون الابيض وهذا هو السبب الذي يفسر بان مساحيق السيلكون تزيد والمحضرة بطريقة LICVD لامثلة معيارية ثابتة وذلك بالاعتماد على متغيرات التحضير مثل نسبة $\text{SiH}_4 / \text{NH}_3$.

المقدمة

بعد السيلكون تزيد من المواد السيراميكية التي ارداد الاهتمام بها في مجال التطبيقات الصناعية والتطبيقات الحرارية العالية نظرًا للمزايا التي تمتلكها من صلابة عالية ومقاومة للحرارة (1400°C) وكثافة واطئة (2- 3mg/cm^3)، ومقاومة جيدة للتآكسد فضلًا عن صفات أخرى (1). ان البحث الأولي الذي اجريت لأنماط مادة السيلكون تزيد بدأت في عام (1967) باتجاهه تطوير اغشية سيراميكية عازلة تحل محل او تتممه لأغشية أوكسيد السيلكون (SiO) ذي أستعمالات متعددة في المجالات الصناعية (3,2).

بعد السيلكون تزيد من المكونات المهمة في التطبيقات الحرارية العالية ومن ثم فإن نوعيتها وكيفيتها ذو تأثير كبير في هذه التطبيقات، وطرق تصنيع هذه المادة تؤثر في تركيب المنسحوق وصفاته. ويوجد العديد من الطرق التقليدية المتبعة في إنتاج هذا المنسحوق (5,4). إلا إن طريقة الليزر الحات على الترسيب بالبخار الكيميائي (LICVD) تعد من أكفاء الطرق المستعملة نظرًا لما تتوفره من فرصه ممتازة لدراسة ميكانيكية التفاعل الكيميائي

وفهم الكبيبات الضوئية في منطقة (IR) وكبيباء السطوح نظراً للمواصفات التي تمتاز بها طريقة الترسيب بأشعة الليزر (8,7,6).

في هذا البحث تم ترسيب مسحوق السيليكون تزريباً بأسعمال الليزر الحات للتكلك عن طريق الأمتصاص متعدد الفوتونات لمزيج من غاز السيليلين (SiH_4) والأمونيا (NH_3) وبنسبة مختلفة. إن المبدأ الأساس لهذه العملية هو عند تطبيق خط أبعاد ليزر CO_2 مع حزمة امتصاص أساسية أو مركبة في منطقة IR للجزئية التي يراد أن الجزئية تتضمن عدداً من فوتونات الأشعة تحت الحمراء كافية لأحداث تفكك للجزئية. إن التكلك الرئيسي الانصادي تحت شدة استضاءة عالية اوجد طريقة جديدة لخلق توزيع غير متزن بشدة في الجزيئات بين المستويات الأهترازية بلزير نبضي من دون الحاجة الى العمليات الحرارية.

الجزء العلمي

حضرت مساحيق السيليكون تزريباً بأسعمال المنظومة المبينة في الشكل (1). استخدام في هذا البحث جهاز ليزر $\text{CO}_2\text{-TEA}$ نبضي من انتاج شركة (LUMONICS INC) نوع (920L) يزود بطاقة نبضية بحدود (3J) للنبضة عند خط الأبعاد (20) 10P .

وللحصول على مسحوق السيليكون تزريباً تمت تهيئه الخلية ووضع المادة الأساسية على بعد (3-4mm) من النافذة الإمامية لدخول الليزر، ومليئها بمزيج من غاز SiH_4 الذي يمتلك معاملة امتصاص ($12.9 \text{ atm}^{-1} \cdot \text{cm}^{-1}$), وغاز الأمونيا NH_3 الذي يمتلك معامل امتصاص واطئ للليزر النبضي للخط (20) $0.3 \text{ atm}^{-1} \cdot \text{cm}^{-1}$. يتم سلبيطاً اشعه الليزر على خلية التفاعل بطاقات مختلفة يتم التحكم بالطاقة المسعمولة وذلك بامرار الحزمة من خلال خلية التوهين. يتم قياس طاقة الليزر باستخدام مقياس الطاقة. إن التفاعل الكيميائي بين غاز SiH_4 و NH_3 في الطور الغاري يؤدي الى تكون راسب ابيض صلب وهو مسحوق السيليكون تزريباً (Si_3N_4) ذي نعومة والتصاق عالية.

النتائج و المناقشة

أ- تأثير كثافة اشعة الليزر في تفكك جزيئات SiH_4

باستخدام كثافة طاقة واطئة (اقل من 0.1 J/cm^2) لأشعة الليزر لضغط ثابت لغاز السيليلين (50mbar) لوحظ عدم حدوث زيادة محسوسة في ضغط الغاز (SiH_4) على الرغم من استخدام اعداد كبيرة من النبضات (1200 pulse). وباستعمال كثافات طاقة اعلى وصولاً الى (0.3 J/cm²) لوحظ تغير محسوس في ضغط الغاز وهذا دليل على حدوث عملية التكلك متعددة الفوتونات بزيادة كثافة الطاقة فإن عدد الجزيئات المشاركة بالتفاعل يزداد، الشكل(2) اذا ان زيادة كثافة الطاقة تعني زيادة الأنساع في المستويات بسبب المجال القوي للأشعة تحت الحمراء مما يؤدي الى تهيج عدد اكبر من الجزيئات ومن ثم زيادة عدد الجزيئات المتفكه مما يؤدي الى زيادة الضغط وهذا يتفق مع (9).

ب-تأثير الضغط في تفكك جزيئات SiH_4

عند تغير ضغط غاز SiH_4 لكل زمن تشبع ، اذا ثبتت طاقة اشعة الليزر على 2J (Φ كثافة طاقة 0.3J/cm^2) لوحظ عند الضغوط الواطئة لغاز SiH_4 (1-25 mbar) شكل (3) لا يوجد زيادة محسوسة في ضغط الغاز بالرغم من استخدام عدد كبير من النبضات (1200pulse)، وبربطة الضغط فوق (50mbar) لكتافة طاقة

ثانية تبدأ الزيادة في الضغط الى ان تصل الى مرحلة الأشيع الشكل (4) اذ نلاحظ بعد تعریف الخلية تكون راسب ذا لون بني (BROWN) على جدران ونوافذ خلية التفاعل مما يدل على حدوث عملية التكك متعددة الفوتوныات لغاز SiH_4 .

نستطيع الاستنتاج ان حدوث عملية التكك تكون عند عتبة ضغط بحدود (50 mbar) اذا تم ملاحظة الزيادة في ضغط الغاز (شكل 5) دالة لعدد النبضات فوق عتبة تكك ضغط غاز (SiH_4) تفكك الجزيئات الى سبلكون وهيدروجين (9) وتقسيم عملية التكك انه في خطوات التكك الأولى يكون (SiH_2) السبيالين وجزيئات الهيدروجين الناتجة من جزيئات SiH_4 المنهجية اهتزازياً. ان تفاعل (SiH_2) في الحالة الأرضية او المنهجية مع (SiH_4) يمكن ان يؤدي الى تكون (Higher Silanse) بكميات يمكن اهماله وهذا بعد من ايجابيات استخدام الليزر CO_2 البصري على الليزر المسمر حيث يمكن السبيالين العالي من كميات عالية في المراحل الأولى من التفاعل بنسبة تحويل اقل من 50% ثم تختفي (10, 11).

ج- تأثير ضغط غاز SiH_4 في عدد الجزيئات المتفككة وعدد الفوتوныات المستعملة لتفكيك الجزيئات.

بالامكان وصف عملية الامتصاص متعدد الفوتوныات بمقدار الطاقة المنصصة من قبل الجزيئات جراء تأثير تفاعل مجال الأشعة او بمعدل الجزيئات المتفككة الذي يساوي

$$\langle n \rangle = \frac{E_{\text{abs}}}{h\nu} = \frac{\text{طاقة المتصصة}}{\text{طاقة الفوتون}} = E_{\text{abs}} / h\nu$$

فمن حساب حجم خلية التفاعل وضغط غاز (SiH_4) و تطبيق العلاقة الآتية:

$$P = nkT \quad P = \text{ضغط الغاز}$$

n = عدد الجزيئات في وحدة حجم التفاعل.

k = ثابت بولتزمان.

T = درجة حرارة الغرفة.

ضغط غاز (SiH_4) (25 mbar) وجد ان الجزيئات الموجودة في حجم التفاعل كانت بحدود (1×10^{20}) جزيئه، اما عدد الجزيئات المتفككة جراء سلسلة نبضية واحدة من اشعة الليزر بطاقة (J) في الخلية فكانت بحدود (1.66×10^{15})، ومن معرفة طاقة الفوتون الواحد وطاقة النبضية فأن عدد الفوتوныات المستعملة لتفكيك جزيئه واحدة من جزيئات (SiH_4) كانت تقريباً (2.7×10^3). فادا علمنا ان الجزيئه الواحدة تحتاج الى (112) فوتون من فوتوныات الأشعة تحت الحمراء لكي تفكك فأن مقداره (2586) فوتون لم يتم امتصاصها بشكل فعلي وانما تحولت الى حرارة داخل الخلية.

و عند ضغط (50 mbar) فأن عدد الجزيئات الموجودة في حجم التفاعل كانت بحدود (2.5×10^{20}) جزيئه، بينما عدد الجزيئات المتفككة بحدود (2.6×10^{17}) جزيئه، وعدد الفوتوныات التي استعملت لتفكيك جزيئه واحدة فكانت بحدود (3×10^{20}) وان (180) فوتون لم يتم امتصاصها من الجزيئات وزيادة الضغط الى (150 mbar) كانت عدد الجزيئات الموجودة في حجم التفاعل بحدود (6.3×10^{20}) بينما عدد الجزيئات المتفككة (5.6×10^{17}) جزيئه، اما عدد

الغونونات المستعملة لتكك جزيئه واحدة فكانت بحدود (1.56×10^2) غونون وان ما مقداره (44) غونون لم يتم امتصاصها وانما تحولت الى حرارة.

وللทราบ تفسير النتائج المستحصلة، فعند سطح اشعه الليزر تتحقق عدد من جزيئات الغاز نتيجةً لأمتصاص عدداً من غونونات الأشعة تحت الحمراء ومن ثم وصولها الى حد التفكك وعند زيادة الضغط تزداد عدد الجزيئات الموجودة في حجم التفاعل مما يؤدي الى زيادة التصادم بين الجزيئات، اذ ان تصادم الجزيئات ذا التهيج العالي مع الجزيئات الأخرى يؤدي الى انتقال الطاقة من نوع (V - V) وهذا يعني نهجهما او امكانية وصولها الى المسوبات شبه المستمرة بشكل كفء. ومن ثم زيادة عدد الجزيئات المتهيجة مما يؤدي الى زيادة عدد الجزيئات المتتككة أي زيادة معدل التفكك وبرباده عدد الجزيئات تقل عدد الغونونات اللازمة لتكك جزيئه وبذلك يتم امتصاص شبه ثام لغونونات الأشعة تحت الحمراء من الجزيئات الموجودة في حجم التفاعل (13).

ـ تأثير ضغط الغازات في لون المسحوق المحضر

يفضل استعمال مزيج من غاز الأمونيا (NH_3) والسيالين (SiH_4) على العارات الأخرى المستعملة مع غاز (SiH_4) وهذا يعود الى ان التفاعل بين غاز الأمونيا والسيالين لا يكون معدلاً او يحتاج الى طاقة أقل.

عند اجراء تجربة ترسيب المسحوق نلاحظ عند تغيير ضغط غاز (SiH_4) من (25 mbar) الى (500 mbar) ولضغط ثابت لغاز (NH_3) (100 mbar) ولكنها طاقة ثابتة لأشعة الليزر (0.3J/cm²) انه عند الضغوط القليلة لغاز (SiH_4) يتراوح لون المسحوق من الأبيض الى البرتقالي (White - to - Orange) هذا اللون الى اللون البني لضغط غاز (SiH_4) فوق (100 mbar) وبعزى هذا التغير اللوني (- to Orange) الى ترسيب السليكون الحر خلال التفاعل مع الليزر (7) الجدول (1).

وعند تغيير نسب العارات وذلك بشبب ضغط غاز (SiH_4) على (150) وتغيير غاز الأمونيا من (25 mbar) الى (450 mbar) لوحظ انه بزيادة غاز الأمونيا يتحول اللون البني الى البرتقالي ثم الى لون اسرع ضارب الى الصفرة (TAN) وعند ضغط غاز الأمونيا NH_3 (150 mbar) يتحول اللون الى ابيض مصفر، اما عند ضغط (250 mbar) فقد تم الحصول على اللون الأبيض لمسحوق السليكون تبريد. نلاحظ ان أي زيادة اضافية لغاز الأمونيا لا يؤثر في لون المنتوج.

ـ دراسة تأثير اضافة غاز التتروجين في غاز السيالين.

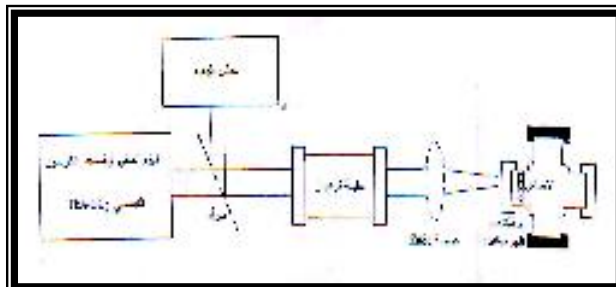
اجربت تجربة ترسيب المسحوق بأسعمال نسب مختلفة لغاز التتروجين (N_2) مع غاز (SiH_4) بضغط (50 mbar). فعند ضغط غاز N_2 (75 mbar) لوحظ ترسيب مسحوق ذو لونبني على المادة الاساس مما يدل على حصول عملية التفكك الضوئي. وبأخذ نسب مختلفة من غاز N_2 (100-150 mbar) لم يتغير لون المسحوق المترسيب وهذا يدل على ان المسحوق المترسيب نتيجة لتفكك الضوئي لغاز السيالين جراء التعرض لأشعة الليزر وترسيب حبيبات السليكون الصلب على الأساس وجدران خلية التفاعل وان غاز التتروجين لم يعمل الا على تثبيط اعداد قليلة جداً من السليكون الحر، ولهذا فإن اضافة غاز N_2 لا يؤثر في غاز (SiH_4) نتيجة لعدم تعاملها مع مع السليكون المكون من تفكك غاز السيالين عند استخدام اشعه ليزر CO_2 النبضي وهذا يتفق مع (14,10).

References

1. Borsella,E; Caneve ,L.; Fantoni,R. and Piccirillo,S. (1989) App. Surface Science, 36: 213-220.
2. Taft,E.A. (1971) J. Electrochem. Soc., 118(8): 1341-1346.
3. Jianqing,D. and Huang,Z.X.(2002) Journal of Spectroscopy laboratory. 18: 78-83 .
4. Julie, M. Schoenung, (1991) Ceramic Bulletin, 70(1): 112.
5. Yuehui,Yu. and Fang, Z. (1989) App. Surface science, 40: 145.
6. Ben – Shaul,A,Haas.Y,Kompa.K.L and Levine.R.D, (1981) (Leaser and Chemical Change): springer seris in Chemical physics 10.
7. Yoshimi, K. Izaki, and Toshio Kandori, (1985). Japan. J - App - phys., 24(7):800.
8. Besling, W. F.; Vander Put.P.J.J, and Schoonman.J. (1995) J.Phys.11(5): 195- 199.
9. Hanabusa,M. and Akira Namiki, (1979) . App. Phys. Lett, 35 (8):626 .
10. Bertolotti, M.; Consalvo.D, Mele.A, (1989) App. Surface Science, 36: 89.
11. Wang,W.; Liu,S.H; Zhang,Y. and Mei,Y.B. (1996) Phys.B,V.225,Issues1-2:P137-141 .
12. Zhang, H;Wri.A, and Chen.K, 2001.,The solid films V.368.Issues.2.P.315- 318
13. Yang.Zhi-me, and Yang. Wen-bin, 2004 .J.Vacuum science and Technology, V 122 .1232-1238.
14. Mo.C, Wang.T.; Cai.S, and Xie.C, 1993, Phys. State.solid. V.136.Issues.2 P.291- 300 .

جدول رقم (1) يبين تغير ثون المسحوق مع ضغط غاز الامونيا والسيائلين.

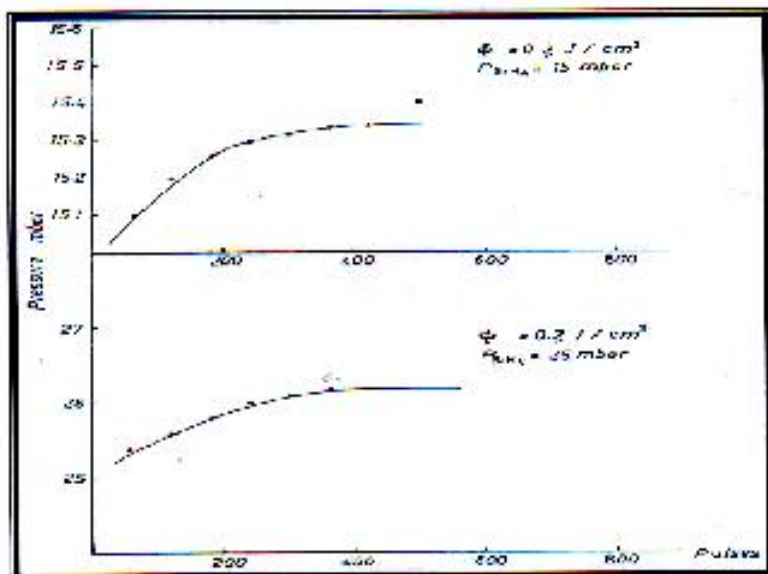
Run No.	Pressure		Color
	NH ₃ mbar	SiH ₄ mbar	
1	100	25	White
2	100	50	White
3	100	100	Orange
4	100	150	Lt. Brown
5	100	250	Brown
6	100	350	Brown
7	100	500	Brown
1	25	150	Brown
2	75	150	Lt. Brown
3	100	150	Orange
4	125	150	Lt. Orange
5	150	150	Tan
6	200	150	White
7	300	150	White
8	450	150	White



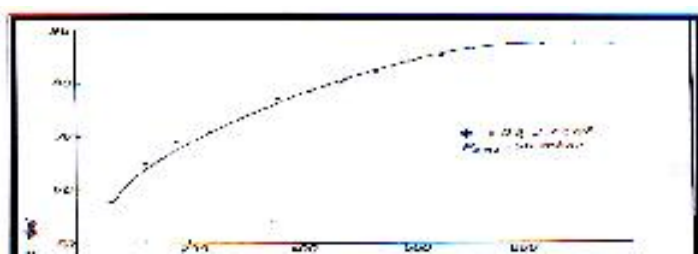
شكل رقم (1) يمثل مخطط لمنظومة المستخدمة



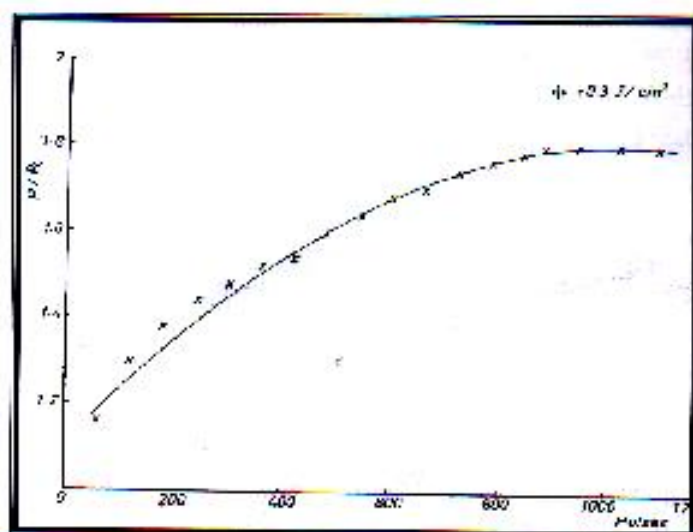
شكل رقم (2) يبين التغير في ضغط غاز SiH_4 مع عدد النبضات دالة لكتافة الطاقة



شكل رقم (3) يبين التغير في الضغط مع عدد النبضات دالة للضغط الابتدائي



شكل(4) يبين التغير في الضغط مع عدد التبضات دالة للضغط الابتدائي.



شكل رقم (5) يبين النسبة بين الضغط الكلي النهائي إلى الأبتدائي دالة لعدد التبضات عند $P_0=50\text{mbar}$